

8 ケーブル系の非線形運動的応答(みかけの一挙動)

東京大学 ○山口 宏樹, 宮田 利雄, 伊藤 学

1.はじめに

送電線, 斜張橋, ガイタワー等のケーブルを单一部材, あるいは支持部材とする, いわゆるケーブル構造は重要な構造形式の一つであるが, 剛性が小さく, 变形しやすいうことから, 本質的に幾何学的非線形性を有する独特な構造である。従って構造工学上からはその非線形挙動を十分把握することが重要で, 特に動的分野の研究に未着手の問題点が多く認められる。実際, 既存の斜張橋, 送電線などにおいてケーブル自身が風の作用下で大きく振動し, その解決策を見出す必要のあることが報告されている。また, 主構造を支えるケーブルの質量が大きくなれば, ケーブル固有の応答性が構造物全体の動的応答に影響を与える, いわゆる相互作用の問題を生ずるが, これららの問題点を考えるとケーブルの動的非線形特性を把握しておくことが極めて重要なポイントになると考えられる。

著者らはケーブル系の動特性に関する研究^{1,2)}を行なってきたが, 模型実験においてケーブルの非線形運動の一つと思われる, 興味深い現象が観察され, 理論的な考察を加えたのでここに報告する。これは, 単一ケーブルに, ケーブルを含む鉛直面内一向の周期外力が作用する場合, 外力振動数, 鉛直たわみ振幅に対する面外一向の横擺れ振動を生じ, ついには回転運動をするという現象である。同様の現象がガイケーブルの振動実験においても存在することをDavenport³⁾らは報告している。また, 音響学の分野においては, 弦の場合の同様の現象をMurthy⁴⁾らが弦の非線形運動特性として理論解析, ならびに実験から考察を加えている。

この現象はケーブルの面内変位, および面外変位に関する運動方程式がその幾何学的非線形性を介して連成するため生ずるものであり, 面外一向の運動のみに着目すれば一種の動的不安定現象と考えられる。 $\ddot{\gamma}_1 \ddot{\gamma}_2$, $\ddot{\gamma}_2 \ddot{\gamma}_1$ はケーブルを連続体として扱う基礎方程式の厳密な定式化から始め, この一非線形運動を表わし得る支配方程式を示して理論的な考察を加える。次に面外運動をパラメトリック共振として扱い, その動的不安定領域を求める。さらに弦を扱ったMurthy⁴⁾らの理論と, サイクルを有するケーブルに拘束して面内面外連成強制振動の定常解を求め, この現象の解釈を行なう。同時に, ケーブルの動特性を支配するパラメータの影響についても考察する。

2. 基礎方程式¹⁾

ここでの定式化における, ケーブルは部材として, 完全可撓性, 非抗压縮性, 伸張性の3つの性質を有するものと仮定する。

[2.1] ひずみの定義式

任意時刻におけるケーブルの伸びひずみ(無次力状態基準)は次式で定義される。

$$\epsilon = \frac{ds - s_0}{s_0} \quad (1)$$

s は任意時刻のケーブルに沿う曲線座標, s_0 は無次力状態におけるケーブルに沿う曲線座標で

ある。式(1)で S_0 の代りに初期状態(静的つまりい状態)でのケーブルに沿う曲線座標 S_0 を考えれば、初期状態基準ひずみ ϵ^* が同様に定義される。さらに初期ひずみ ϵ_e を導入すれば、

$$\epsilon = \epsilon^*(1 + \epsilon_e) + \epsilon_e \quad (2)$$

また、Greenのひずみテンソル成分は次式で定義される。

$$e = \frac{ds^2 - dS_0^2}{2dsdS_0} = \frac{1}{2} \{(1+\epsilon)^2 - 1\} \quad (3)$$

従って 微小ひずみを仮定すれば伸びひずみとひずみテンソル成分とは近似的に等しくなる。

[2.2] 構成方程式(断面力-ひずみ関係式)

完全弾性体を仮定し、次の構成方程式を用いる。

$$T = EA \epsilon \quad (\text{任意時刻のケーブル張力}) \quad (4)$$

ここで EA はケーブルの伸び剛性である。

[2.3] 運動方程式

空間固定デカルト座標 $\{x^1, x^2, x^3\}$ を考えれば、任意時刻のケーブル諸点の空間位置ベクトル X はその時刻のケーブルに沿う曲線座標 S によって確定される。Fig. 1 のようにケーブルの微小要素 (dS) を考え、力のつまり合いを考えれば Euler 表示の運動方程式が次のように得られる。

$$\frac{\partial}{\partial S} \left(T \frac{\partial X^i}{\partial S} \right) + X^i = P \frac{\partial^2 X^i}{\partial t^2} \quad i=1, 2, 3 \quad (5)$$

ここで X^i, P は未知数、 S は沿う単位長さ当りの外力成分、ケーブル質量である。

運動中のケーブル諸点の空間位置 $\{X^i\}$ は、埋込座標 S_0 と時刻 t の関数であることを考慮して式(5)を書き直せば、Lagrange 表示の運動方程式が求まる。

$$\frac{\partial}{\partial S_0} \left(\frac{T}{1+\epsilon} \frac{\partial X^i}{\partial S_0} \right) - P_0 \frac{\partial^2 X^i}{\partial t^2} + (1+\epsilon) X^i + X_e^i = 0 \quad i=1, 2, 3 \quad (6)$$

ここで P_0 は S_0 に沿う単位長さ当りのケーブル質量、 X_e^i は初期状態に作用する静的外力成分である。

式(6)を静的つまりい位置 $\{X_e^i\}$ からの動的変位 $\{u^i\}$ に関する運動方程式に変換し、任意時刻のケーブル張力 T を初期張力 T_0 と変動張力 ΔT とで表わして、静的つまりい式を考慮すれば次式を得る。

$$\frac{\partial}{\partial S_0} \left\{ \frac{T_0 + \Delta T}{1+\epsilon} \left(\frac{dX_e^i}{dS_0} + \frac{\partial u^i}{\partial S_0} \right) - T_0 \frac{dX_e^i}{dS_e} \right\} - P_0 \frac{\partial^2 u^i}{\partial t^2} + (1+\epsilon) X^i = 0 \quad i=1, 2, 3 \quad (7)$$

さらに微小ひずみを仮定すれば、

$$\frac{\partial}{\partial S_0} \left\{ (\Delta T - \epsilon^* T_0) \frac{dX_e^i}{dS_e} + (T_0 + \Delta T - \epsilon^* T_0) \frac{\partial u^i}{\partial S_e} \right\} - P_0 \frac{\partial^2 u^i}{\partial t^2} + (1+\epsilon) X^i = 0 \quad i=1, 2, 3 \quad (8)$$

[2.4] ひずみ-変位関係式

微小ひずみの假定のもとにひずみ-変位関係式を求めておく。

$$\epsilon^* \simeq e^* = \frac{dX_e^i}{dS_e} \frac{\partial u^j}{\partial S_e} + \frac{1}{2} \left(\frac{\partial u^i}{\partial S_e} \frac{\partial u^j}{\partial S_e} \right) \quad (j: \text{dummy index}) \quad (9)$$

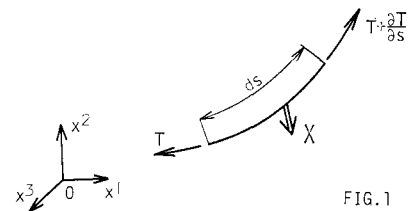


FIG. 1

3. 偏平ケーブルの支配方程式

土木構造物にみられるケーブル構造では、ケーブルのサブ比 $r (=f/L)$ が $1/10$ 程度以下であることが多い、これは偏平ケーブルに限ることにする(Fig. 2)。偏平を仮定すれば、振動はケーブルの弦(支点間を結ぶ直線)と直交する方向へのみ起るものと考えられ、軸方向(X 方向)の運動は無視できる。さらに $dS_e \approx dX$ とすると、式(8)から偏平ケーブルの運動方程式が次のように求まる(Fig. 2参照)。

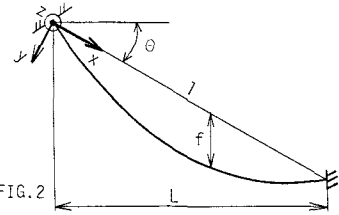


FIG. 2

$$\frac{\partial}{\partial X} \left\{ (\Delta T - \epsilon^* T_e) \frac{dX}{dS_e} \right\} = 0 \quad (10)$$

$$\frac{\partial}{\partial X} \left\{ (\Delta T - \epsilon^* T_e) \frac{dy_e}{dS_e} + (T_e + \Delta T - \epsilon^* T_e) \frac{\partial V}{\partial S_e} \right\} - P_0 \frac{\partial^2 V}{\partial t^2} + Y = 0 \quad (11)$$

$$\frac{\partial}{\partial X} \left\{ (T_e + \Delta T - \epsilon^* T_e) \frac{\partial W}{\partial S_e} \right\} - P_0 \frac{\partial^2 W}{\partial t^2} + Z = 0 \quad (12)$$

ただし、ケーブルは初期状態において自重のみが作用し、 $X-Y$ 平面内にある(初期形状: y_e)。外力としては Y , Z 方向の分布外力 $Y(t)$, $Z(X, t)$ を考えている。また \dot{V} , \dot{W} はそれぞれ V , W の時間(鉛直方向), X 方向(面外方向)の運動的変位を表している。簡単のために斜角が0の場合を考えれば、式(10)から時間のみに依存する変動水平張力 $\Delta H(t)$ が決定される。さらに初期水平張力 $H_0 (= T_e \frac{dX}{dS_e})$ が一定であることを考慮すれば、面内鉛直方向と面外方向の運動方程式が次のように求まる。

$$P_0 \frac{\partial^2 V}{\partial t^2} - H_0 \frac{\partial^2 V}{\partial X^2} - \Delta H \frac{d^2 y_e}{dX^2} - Y = \Delta H \frac{\partial^2 V}{\partial X^2} \quad (13)$$

$$P_0 \frac{\partial^2 W}{\partial t^2} - H_0 \frac{\partial^2 W}{\partial X^2} - Z = \Delta H \frac{\partial^2 W}{\partial X^2} \quad (14)$$

ここで右辺が運動方程式における幾何学的非線形項である、変動張力の運動的変形による成分である。さらに式(10)から決まる変動水平張力を、式(9)のひずみ-変位関係を用いて変位表示すれば、

$$\Delta H = -\frac{EA}{\alpha} \int_0^L \frac{d^2 y_e}{dX^2} V dX + \frac{EA}{2\alpha} \int_0^L \left\{ \left(\frac{\partial V}{\partial X} \right)^2 + \left(\frac{\partial W}{\partial X} \right)^2 \right\} dX \quad \text{ただし } X = \int_0^x \left(\frac{dS_e}{dx} \right)^2 dx \quad (15)$$

ここで右辺、 ΔH 積分項が、ひずみ-変位関係が非線形であることにによる幾何学的非線形項である。式(15)と式(13), (14)に代入すれば、変位のみを未知変数とした支配方程式が最終的に次のようになる。

$$\frac{\partial^2 V}{\partial t^2} - C_0 \frac{\partial^2 V}{\partial X^2} + \frac{C_1^2}{\alpha} y_e'' \int_0^L y_e'' V dX = -\frac{C_1^2}{\alpha} \frac{\partial^2 V}{\partial X^2} \int_0^L y_e'' V dX + \frac{C_1^2}{2\alpha} \frac{\partial^2 V}{\partial X^2} \int_0^L \left\{ \left(\frac{\partial V}{\partial X} \right)^2 + \left(\frac{\partial W}{\partial X} \right)^2 \right\} dX + \frac{C_1^2}{2\alpha} \frac{\partial^2 V}{\partial X^2} \int_0^L \left\{ \left(\frac{\partial V}{\partial X} \right)^2 + \left(\frac{\partial W}{\partial X} \right)^2 \right\} dX + \frac{Y}{P_0} \quad (16)$$

$$\frac{\partial^2 W}{\partial t^2} - C_0 \frac{\partial^2 W}{\partial X^2} = -\frac{C_1^2}{\alpha} \frac{\partial^2 W}{\partial X^2} \int_0^L y_e'' V dX + \frac{C_1^2}{2\alpha} \frac{\partial^2 W}{\partial X^2} \int_0^L \left\{ \left(\frac{\partial V}{\partial X} \right)^2 + \left(\frac{\partial W}{\partial X} \right)^2 \right\} dX + \frac{Z}{P_0} \quad (17)$$

ここで $C_0 (= \sqrt{H_0/P_0})$, $C_1 (= \sqrt{EA/\alpha})$ はそれぞれ弦の横波、絶波の伝播速度, α は X に関する非線形係数を意味する。また第一項はフリカーリ式の非線形引違による幾何学的非線形項、第二項はひずみ-変位関係式の非線形性による幾何学的非線形項、第三項はそれらの非線形性のcross termである。

偏平ケーブルの支配方程式(16), (17)から、線形範囲内、つまり微小振動の範囲内では面内鉛直振動と面外振動とは完全に分離され、幾何学的非線形性を考慮して初めてこれらが連成することができる。

物理量的には、運動方程式(13), (14)からわかるように、ケーブルの変動張力を介して連成することになる。

4. 鈍直うね周期外力による偏平ケーブルの非線形挙動

外力として振動数 Ω_y の鈍直うね周期外力のみを考え、それを鈍直線形振動の基準関数で展開する。

$$\frac{Y}{P_0} = \sum_{i=1}^{\infty} f_{y_i} \eta_i(x) \cos \omega_y t \quad (18)$$

ここで f_{y_i} は一般化外力振幅、 $\eta_i(x)$ は面内鈍直振動の基準関数で、直交関数系となる。

[4.1] 面外パラメトリック起振動

鈍直うねに n 次のモード z 振動するような強制振動を考え、面外振動がないものとすれば、定常解は

$$V(x, t) = A_{yn} \eta_n(x) \cos \omega_y t \quad (19)$$

と表わされる。ここで A_{yn} は一般化変位振幅で、1自由度系の振動理論から、外力振動数 Ω_y の関数で表わされる、式(19)を面外うねの運動方程式(17)に代入すれば、

$$\begin{aligned} \frac{\partial^2 w}{\partial t^2} - C_0 \frac{\partial^2 w}{\partial x^2} &= -\frac{C_1^2}{\alpha} \frac{\partial^2 w}{\partial x^2} \int_0^L Y e^{i \Omega_y t} d x \cdot A_{yn} \cos \omega_y t \\ &+ \frac{C_1^2}{2 \alpha} \frac{\partial^2 w}{\partial x^2} \int_0^L (M_1)^2 dx A_{yn}^2 \cos^2 \omega_y t + \frac{C_1^2}{2 \alpha} \frac{\partial^2 w}{\partial x^2} \int_0^L (\frac{\partial w}{\partial x})^2 dx \end{aligned} \quad (20)$$

この解を面外線形振動の基準関数 $\eta_i(x)$ で展開する。

$$w(x, t) = \sum_{i=1}^{\infty} g_i(t) \eta_i(x) \quad (21)$$

ここで g_i は一般化変位である。式(20)で面外変位 w のみに関する非線形項(右辺第3項)は無視するとして式(21)を代入し、Galerkin法を適用すれば、各一般化変位 g_i につれて次のように Hill方程²が得られる。

$$\ddot{g}_j + \omega_{2j}^2 \left(1 - \sum_{i=0}^2 M_i \cos i \omega_y t \right) g_j = 0 \quad j=1, 2, \dots \quad (22)$$

ここで M_0, M_1, M_2 はカク比と、伝播速度比 α (= C_1/C_0)、無次元外力振幅 Ω_{yn} (= f_{y_n}/ω_{2n})、および鈍直うね変位応答倍率 δ_{yn} (= A_{yn}/A_{yo} , $A_{yo} = \eta_{y_0}(L)$)で表わされる無次元パラメータであり、 \cdots は時間で時間的階級分である。このように面外運動はパラメトリック起振動を表す式(22)により支配されることが導かれる。

Hill方程(22)の発散解の領域、つまり動的不安定領域は周期 T (= $2\pi/\omega_y$: 外力周期)または周期 $2T$ をもつ周期解により区別され、周期の等しい2つの解の不安定領域を区分するから、各周期解と無限Fourier級数³を展開して式(22)に代入すれば、Fourier係数(a_k, b_k)に関する齊次代数方程式が次の形で求まる(詳細は Bolotin⁵を参照)。ただし、以後は $j=n$ に限り、面外運動より次のものを考えることにする。

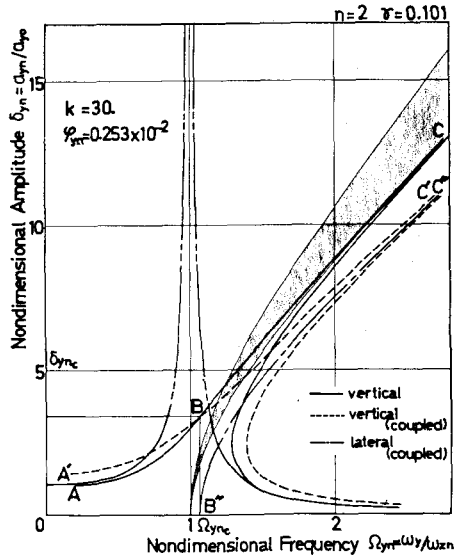


FIG.3 Regions of Dynamic Instability and Response Curves ($n=2$)

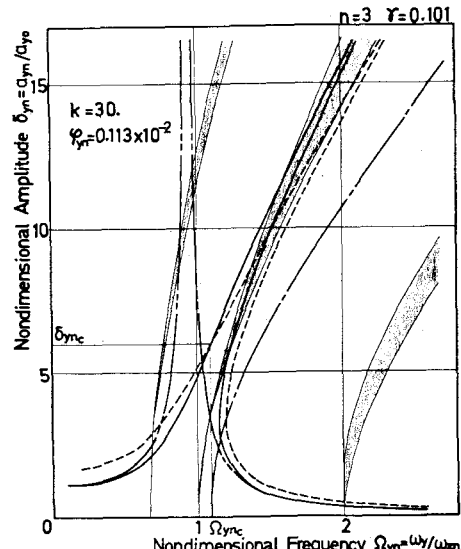


FIG.4 Regions of Dynamic Instability and Response Curves ($n=3$)

$$[(A) - \Omega_{yn}^2 [B]]\{a\} = \{0\}, \quad [(C) - \Omega_{yn}^2 [D]]\{b\} = \{0\} \quad (23a,b)$$

このとき $[A], [C]$ は M_0, M_1, M_2 を表す n 次元の無限次元マトリクス, $[B], [D]$ は無限次元の定数マトリクスである。 Ω_{yn} は無限次元の外力振動数 ($= \omega_1 / (\omega_{2n})$) である。従って式(23a,b)を有限項で打ち切り、鉛直振幅 δ_{yn} を与えて M_0, M_1, M_2 を確定すれば、固有値として Ω_{yn} が数値的に得られ、 $\delta_{yn} - \Omega_{yn}$ 平面での面外振動不安定領域が求められる。Fig.3, Fig.4 にその例を示す。 $\Omega_{yn} = 2$ から拡がる領域が主不安定領域、 $\Omega_{yn} = 1$ から拡がる領域が $\Omega_{yn} = 1$ のさらに小さな値から拡がる領域であるが、小さな領域となるので図には示していない。

このような不安定領域の全領域が実際に生起可能わけではない。つまり、鉛直振幅 δ_{yn} は外力振動数 Ω_{yn} によって決まる応答曲線で表される。それ以上には大きくなれない。Fig.3, Fig.4 で実線が鉛直方向の強制振動応答曲線であり、従って可能な不安定領域はその下の領域に限られる。

さらに厳密に言えば、ある Ω_{yn} で δ_{yn} が不安定領域に達した場合に、どう向の振動が生ずるか、それ以後の鉛直方向の応答の面外運動を考慮した連成支配方程式により決定されねばならず、従って不安定領域をどの応答曲線によつて限定される。

4.2 面内・面外連成強制振動

やはり n 次モードで振動するような強制振動を考え、解を 1 自由度で仮定する。それは対称する一般化座標については外力周期 T と同じ周期を有するとして Fourier 級数に展開可能であるが、非線形性が小さいとすれば、主調和成分のみを考えれば十分である。また、面内、面外方向の応答では一般に位相差を生ずるが、ここでは回転運動のみに着目して $\pi/2$ とする。従って解を次のようく表す。

$$v(x, t) = a_{yn} \gamma_n(x) \cos(\omega_y t), \quad w(x, t) = b_{zn} \zeta_n(x) \sin(\omega_y t) \quad (24a,b)$$

式(24a,b)を、式(18)の外力を考慮した連成運動方程式(16),(17)に代入し、Galerkin 法、さらびに調和ハラス原理を用いれば、面内、面外方向の無次元応答振幅 $\delta_{yn}, \delta_{zn} (= b_{zn} / p_{y,n})$ に関する非線形代数方程式が次のようになります。

$$(I_{23}^* R^* + gR^2 I_1^* \frac{R^*}{I_3^*} - \Omega_{yn}^2) \delta_{yn} + \frac{3}{8} gR^2 I_2^* I_{23}^* R^* \zeta_{yn}^2 \delta_{yn}^3 + \frac{1}{8} gR^2 I_2^* R^* \zeta_{yn}^2 \delta_{yn} \delta_{zn}^2 = 1 \quad (25)$$

$$- \Omega_{yn}^2 + \frac{1}{8} gR^2 I_2^* \zeta_{yn}^2 \delta_{yn}^2 + \frac{3}{8} gR^2 I_2^* R^* \zeta_{yn}^2 \delta_{zn}^2 = 0 \quad (26)$$

このとき $I_1, I_2^*, I_3^*, I_{23}^*, R^*, g$ は振動次数り、およびカグ比などで表される無次元パラメータである。式(25),(26)から δ_{yn} を消去すれば、連成を考慮した鉛直方向応答関数が次のようになります。

$$\{2I_{23}^* R^* + 3gR^2 I_1^* \frac{R^*}{I_3^*} - (3 - I_{23}^* R^*) \Omega_{yn}^2\} \delta_{yn} + gR^2 I_2^* I_{23}^* R^* \zeta_{yn}^2 \delta_{yn}^3 = 3 \quad (27)$$

すなはち(25),(26)を Ω_{yn} を消去し、 δ_{zn} について解けば、

$$\delta_{zn}^2 = \frac{I_{23}^* (3I_{23}^* R^* - 1)}{3 - I_{23}^* R^*} \delta_{yn}^2 - \frac{8}{gR^2 \zeta_{yn}^2 I_3^* (3 - I_{23}^* R^*) \delta_{yn}} + \frac{8(I_{23}^* R^* + gR^2 I_1^* \frac{R^*}{I_3^*} - 1)}{gR^2 \zeta_{yn}^2 I_3^* (3 - I_{23}^* R^*)} \quad (28)$$

従って、面外方向の振動が可能な場合は式(28)の右辺が正値をとることのみである。この限界の鉛直振幅 δ_{yc} は次式で与えられる。

$$\frac{I_{23}^*(3I_3^*R^*-1)}{3-I_{23}^*R^*}\delta\gamma_{nc}^3 + \frac{8(I_{23}^*R^*+9k^2\gamma_1^2\frac{f^*}{I_3^*}-1)}{9k^2\delta\gamma_{nc}^2 I_3^*(3-I_{23}^*R^*)}\delta\gamma_{nc} - \frac{8}{9k^2\delta\gamma_{nc}^2 I_3^*(3-I_{23}^*R^*)} = 0 \quad (29)$$

このときのすくねする振動数 Ω_{ync} は、式(28)から次のようになる。

$$\Omega_{ync}^2 = 1 + \frac{1}{8}gk^2I_2^*\delta\gamma_{nc}^2 \quad (30)$$

Fig.3, Fig.4 に連成振動の応答曲線を示した。破線が金直角向、一点鎖線が面外角向の応答曲線である。Fig.3 で金直角向の応答曲線に着目すれば、面外運動を考慮したものの(破線)と無視したものの(実線)とが点B($\Omega_{ync}, \delta\gamma_{nc}$)で交わっている。つまり、この点で境に応答は不連続となるのであって、面外角向の応答B'C'が存在する範囲ではBCを表され、面外運動が存在しない範囲($\Omega_{ync} < \Omega_{yin}$)ではABを表される。

5. 考察

以上の理論展開より得られたFig.3, Fig.4から、面内金直角向に周期的外力が作用する場合の面外の回転運動という非線形挙動を解釈すると；それは不守定領域内にあって、しかも面外定常振幅が存在するような範囲の外力振動数 $\Omega_{yin} (> \Omega_{ync})$ をもつ周期的外力が、静止状態のケーブルに金直角に作用すると、金直振幅は増大して行き、パラメトリック起振動を生む不守定領域に入る。ここで、面外角向の振動が生じ、面内、面外の振動が共に発達して、回転運動を表す応答曲線(図の破線、および一点鎖線)に達し、定常な回転運動が維持されるということになる。

また、Davenport の報告³⁾では「約1,3次振動において、振幅がある程度以上になると面内の振動数の1/2の振動数をもつ面外振動が生じた」とある。これはパラメトリック起振動での主不守定領域における現象に相当する。Fig.3, Fig.4 はそれよりも3次振動に対するものであるが、2次振動(Fig.3)では、主不守定領域をはじめ、奇数次の不守定領域は存在しない。このことは偶数次の振動の場合すべてについて理論的に言え、Davenport の報告をうまく説明することになる。これはケーブルの固有振動が、偶数次では弦のそれと全く同じであるのにに対し、奇数次ではケーブル固有の振動となることによるものである。逆に言えば、弦における主不守定領域での現象が存在せず、この現象はサブヒーリングケーブルに固有の非線形現象と考えられる。そのため、この現象の起り得る可能性はサブヒーリングである。実際、サブヒーリングを小さくして行くと、偶数次振動ではFig.3($\delta=0.1$)とほぼ同じ図が得られるのにに対し、奇数次振動では主不守定領域等の領域が減少して行き、偶数次振動の図に近づく。しかし、その近づき方は線形ではない。サブヒーリング比 $\delta=0.05$ の場合をFig.5に示すが、 $\delta=0.1$ であるFig.4の主不守定領域よりも逆に増大しており、外力の1/2の振動数で面外振動が発生するという現象が起り得る可能性が大きい。これは、3次の固有振動がサブヒーリング近くで大きく変化することによるものと思われる。

次に、不守定領域に及ぼす減衰の効果について考える。減衰を考慮した場合には、Fig.6 に示すように、金直振幅 $\delta\gamma_{in}$ の小さな

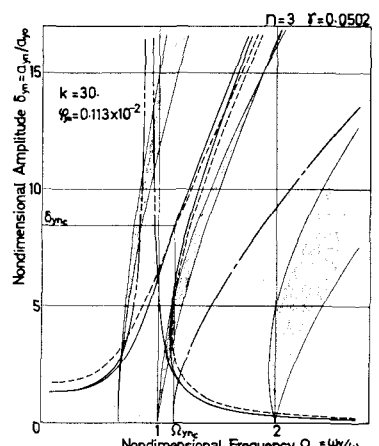


FIG.5 Regions of Dynamic Instability and Response Curves ($\tau=0.05$)

値の範囲に対して不安定領域が存在しなくなる。不安定領域の存在する範囲下限 δ_{yn}^* は減衰定数 h に依存し、しかも各不安定領域で異なる⁵⁾。 h を横軸に δ_{yn}^* の変化をみたものがFig.7; 減衰がかなり小さくとも δ_{yn}^* は大きくなっている。従って、減衰を無視した場合に理論的にはどんな小さな振幅 δ_{yn} に対しても不安定振動が可能であるが、実際には少なからず減衰があるわけであり、ある振幅 δ_{yn}^* 以上にならなければ、不安定現象が起らなくなることがわかる。

最後に無次元化外力振幅 γ_{yn} について考察する。式(30)で $\delta_{yn}' = \gamma_{yn} \delta_{yn} = \Omega_{yn} / \zeta$ とすれば、つまり支点間距離 ζ を無次元化した外力振幅 γ_{yn} 用いれば、式(30)は外力振幅 γ_{yn} によって一意に決まる。

$$\Omega_{yn}^2 = 1 + \frac{1}{8} g k^2 I_2^* \delta_{yn}^{\prime 2} \quad (31)$$

これを $\delta_{yn}' - \Omega_{yn}$ 平面で図示すれば Fig.8 のようになり、面外回転振動の存在範囲が外力によらず決定されることになる。また、回転振動のもう一つの存在限界は下向きの jump が生ずる場合である。これは減衰を一定とすれば $\gamma_{yn}=0$ の場合に相当し、式(27)より次のようになる。

$$\Omega_{yn,i}^2 = \frac{2I_{23}^* R^* + 3gk^2 I_1^* I_2^*}{3 - I_{23}^* R^*} + \frac{gk^2 I_2^* I_{23}^* R^* \delta_{yn,i}^{\prime 3} - 3}{(3 - I_{23}^* R^*) \delta_{yn,i}^{\prime 2}} \quad (32)$$

以上から、連成強制振動の定常解は外力によらず、Fig.8 で示された範囲に限定されることがわかる。

8. あとがき

单一ケーブルの厳密な基礎方程式の定式化から始め、支配方程式における幾何学的非線形項につき考察し、非線形運動的挙落の興味ある一例、面外パラメトリック起振動、また、面内面外の連成振動の定常解につけて理論解析を行はず、考察を加えた。本研究により現象の少なからぬ定性的把握はできたものと思われる。今後、ケーブル系の非線形運動特性についてさらに研究を進めたい。

[参考文献]

- 1) 山口；ケーブル索行系の動特性におよぶ相互作用（東大修士論文），1977
- 2) Miyata,Yamaguchi,Ito ; A Study on Dynamics of Cable-Stayed Structures , An.Rept.En.Re.Inst.Fac.Eng.,Univ.Tokyo ,vol.36,1977
- 3) Davenport,Steels ; Dynamic Behavior of Massive Guy Cables , ASCE,ST2,1965
- 4) Murthy,Ramakrishna ; Nonlinear Charactor of Resonance in Streched Strings , JASA,1964
- 5) Bolotin ; The Dynamic Stability of Elastic Systems, (訳:コロナ社)

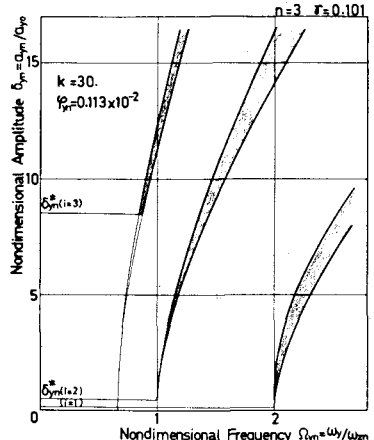


FIG.6 The Influence of Damping on Unstable Regions
($h=0.001$)
 $\gamma_{yn}=0.1013$

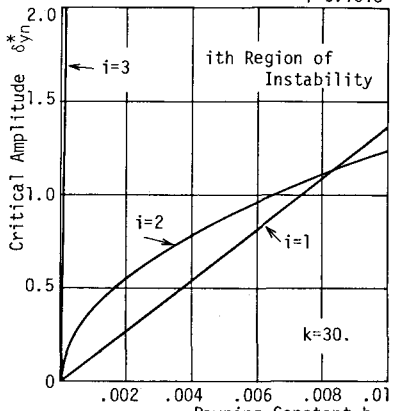


FIG.7 Critical Amp. VS. Damping Const.

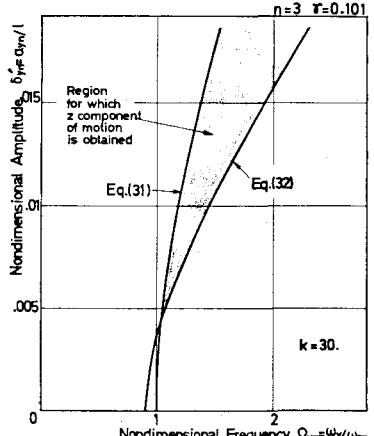


FIG.8 Region for Tubular Motion of the Cable ($\gamma=0.1$)

A Dynamic Unstable Behavior in Nonlinear Responses of Cable Systems

by Hiroki YAMAGUCHI*, Toshio MIYATA** and Manabu ITO***

It has been experienced the fact that a suspended cable vibrated in lateral, out-of-plane direction as well when it made a vertical motion excited by a periodic loading in vertical, in-plane direction. This is one of dynamic nonlinear behaviors of a suspended cable, mathematically caused by geometrically nonlinear coupling terms in governing equations of in-plane and out-of-plane motions. In this paper, starting with the derivation of nonlinear basic equations to describe the dynamic three dimensional motion, the occurrence of the above-mentioned out-of-plane motion is analysed from a viewpoint of dynamic instability of a parametric oscillation. It is also analysed as an in-plane and out-of-plane coupled forced oscillation. As a result, a theoretical interpretation of the phenomenon can be done at least qualitatively. The content of this paper and some explanation are as follows:

1. Introduction
2. Basic equations of three dimensional motion;
 - 2.1: Definition of strain
 - 2.2: Constitutive equation
 - 2.3: Equation of motion
 - 2.4: Strain displacement relation
3. Equations to govern the vertical and lateral coupled motion (v, w) of suspended cables with small sag (Eqs.10, 11 and 12 for θ , and Eqs.16 and 17 for $\theta = 0$)
4. Nonlinear response due to vertical, in-plane loading;
 - 4.1: Derivation of Hill type equation (Eq.22) to describe the out-of-plane parametric oscillation and determination of unstable region (Figs.3 and 4)
 - 4.2: In-plane and out-of-plane coupled forced oscillation (Eqs.27 and 28, Figs.3 and 4)
5. Considerations of the occurrence of dynamic unstable behavior, the effect of span-sag ratio γ (Figs.3, 4 and 5) and damping constant h (Figs.6 and 7), and the existence range (Eqs.31 and 32) of stationary coupled oscillations (Fig. 8)
6. Concluding remarks

* Graduate Student, Fac. of Engineering, the University of Tokyo.

** Assoc. Professor, ditto.

*** Professor, ditto.